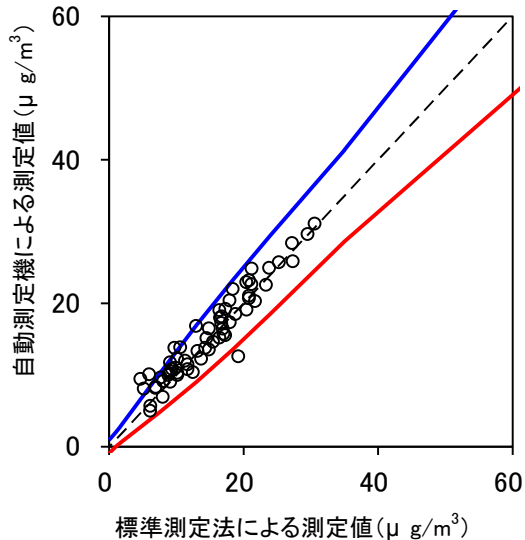


## ⑩ MP101M (Environnement S.A)

### A : グループごとに $P_R$ を最大化する方法

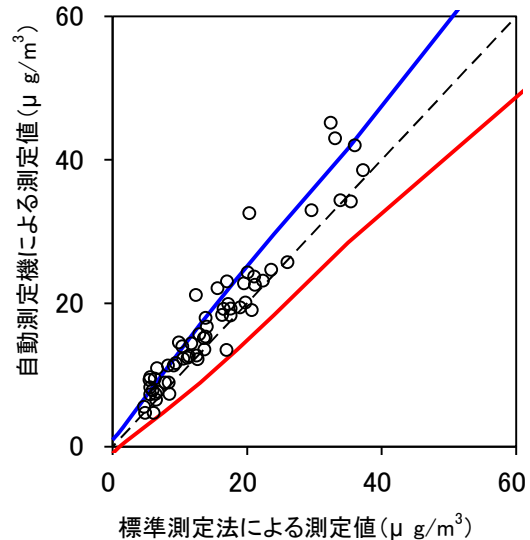
グループ 1 による評価

機種名	Model MP101M(CPM)-夏季
有効測定日数	72
自動測定機の有効データ数	63
ハズレ値の個数	5
r	9
K	1.823
傾き	0.93



Model MP101M(CPM)の夏季における管理限界線との関係

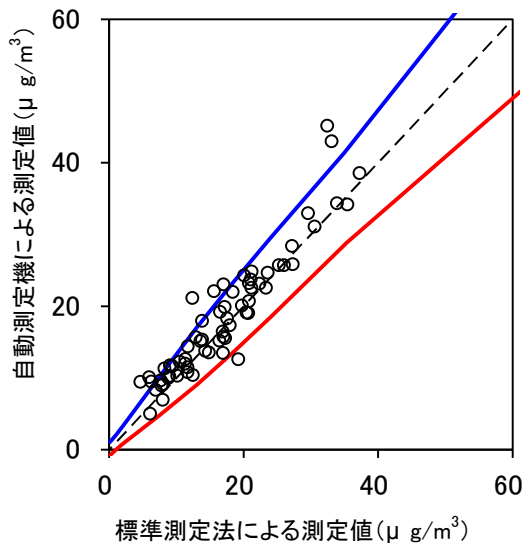
機種名	Model MP101M(CPM)-冬季
有効測定日数	69
自動測定機の有効データ数	60
ハズレ値の個数	14
r	8
K	1.875
傾き	1.07



Model MP101M(CPM)の冬季における管理限界線との関係

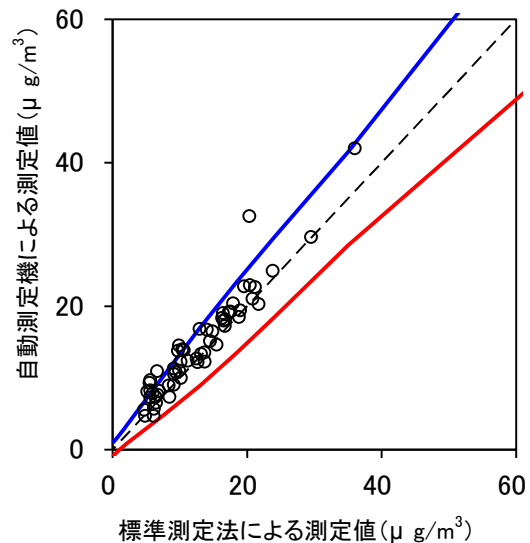
グループ 2 による評価

機種名	Model MP101M(CPM)-都市部
有効測定日数	73
自動測定機の有効データ数	65
ハズレ値の個数	10
r	9
K	1.838
傾き	1.02



Model MP101M(CPM)の都市部における管理限界線との関係

機種名	Model MP101M(CPM)-非都市部
有効測定日数	68
自動測定機の有効データ数	58
ハズレ値の個数	9
r	8
K	1.859
傾き	1.05



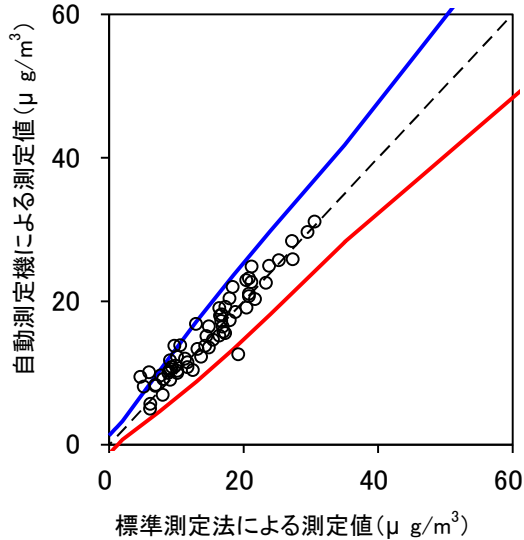
Model MP101M(CPM)の非都市部における管理限界線との関係

## B : グループごとに $P_R$ を固定する方法

### (1) $\alpha = \alpha'_1$ の場合

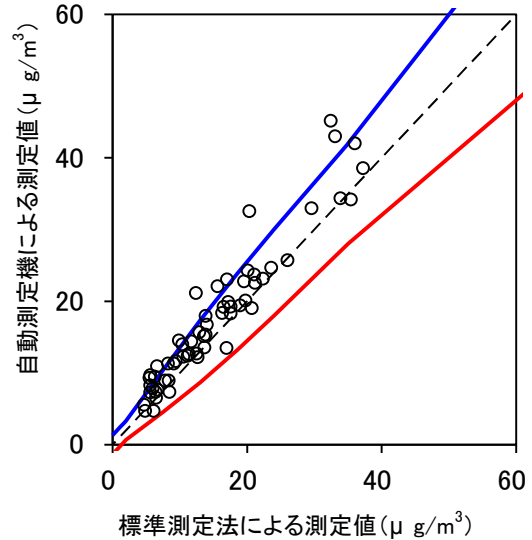
グループ 1 による評価

機種名	Model MP101M(CPM)・夏季
有効測定日数	72
自動測定機の有効データ数	63
ハズレ値の個数	5
r	8
K	1.935
傾き	0.93



Model MP101M(CPM)の夏季における管理限界線との関係

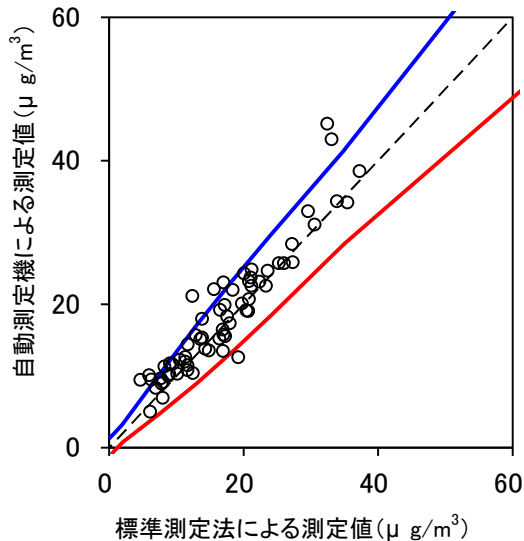
機種名	Model MP101M(CPM)・冬季
有効測定日数	69
自動測定機の有効データ数	60
ハズレ値の個数	12
r	7
K	1.998
傾き	1.07



Model MP101M(CPM)の冬季における管理限界線との関係

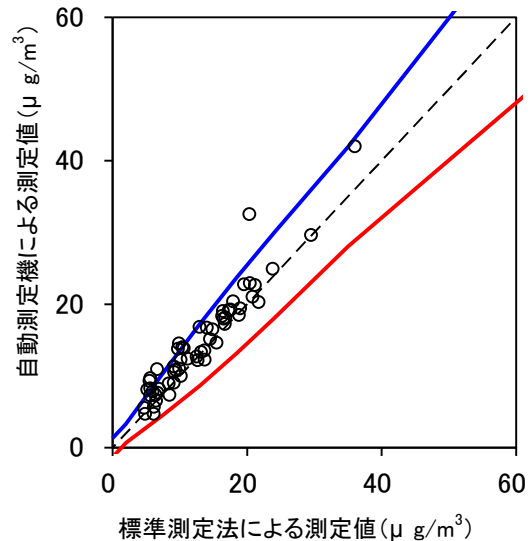
グループ 2 による評価

機種名	Model MP101M(CPM)・都市部
有効測定日数	73
自動測定機の有効データ数	65
ハズレ値の個数	10
r	9
K	1.874
傾き	1.02



Model MP101M(CPM)の都市部における管理限界線との関係

機種名	Model MP101M(CPM)・非都市部
有効測定日数	68
自動測定機の有効データ数	58
ハズレ値の個数	8
r	7
K	1.986
傾き	1.05

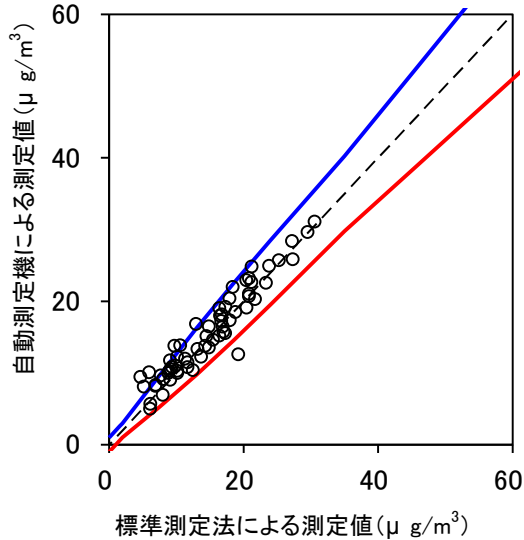


Model MP101M(CPM)の非都市部における管理限界線との関係

(2)  $\alpha = \alpha'_2$  の場合

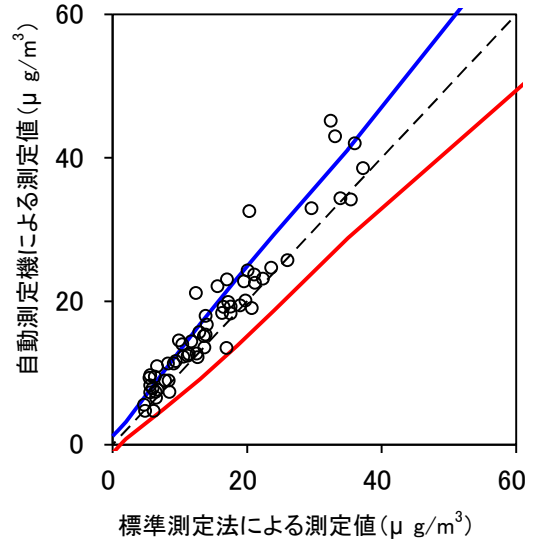
グループ 1 による評価

機種名	Model MP101M(CPM)-夏季
有効測定日数	72
自動測定機の有効データ数	63
ハズレ値の個数	8
r	15
K	1.498
傾き	0.93



Model MP101M(CPM)の夏季における管理限界線との関係

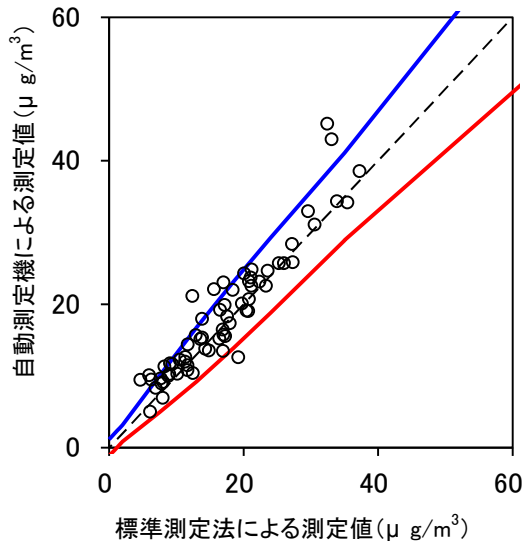
機種名	Model MP101M(CPM)-冬季
有効測定日数	69
自動測定機の有効データ数	60
ハズレ値の個数	15
r	10
K	1.768
傾き	1.07



Model MP101M(CPM)の冬季における管理限界線との関係

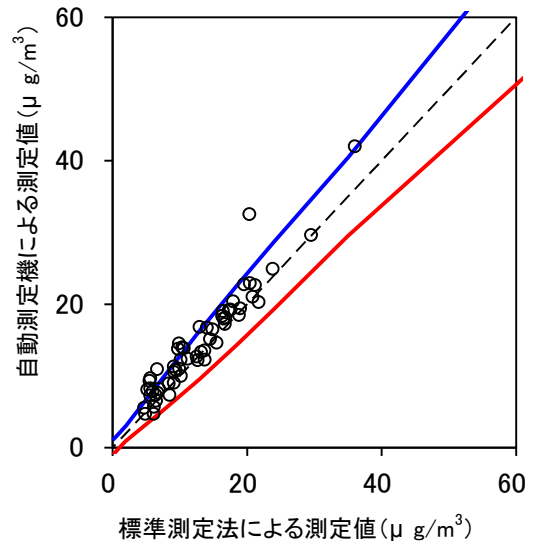
グループ 2 による評価

機種名	Model MP101M(CPM)-都市部
有効測定日数	73
自動測定機の有効データ数	65
ハズレ値の個数	11
r	11
K	1.741
傾き	1.02



Model MP101M(CPM)の都市部における管理限界線との関係

機種名	Model MP101M(CPM)-非都市部
有効測定日数	68
自動測定機の有効データ数	58
ハズレ値の個数	12
r	13
K	1.561
傾き	1.05

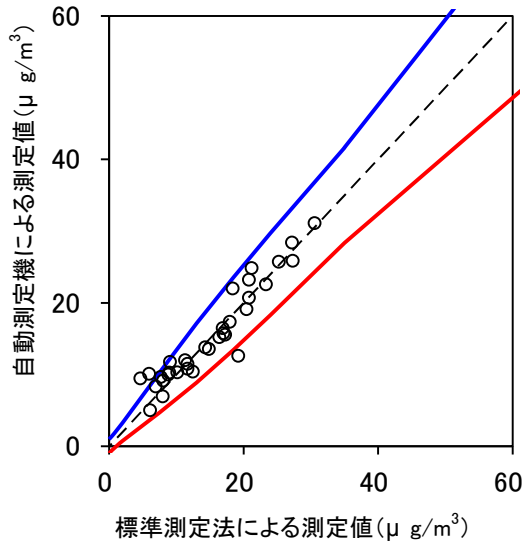


Model MP101M(CPM)の非都市部における管理限界線との関係

## C: フィールドごとに $P_R$ を最大化する方法

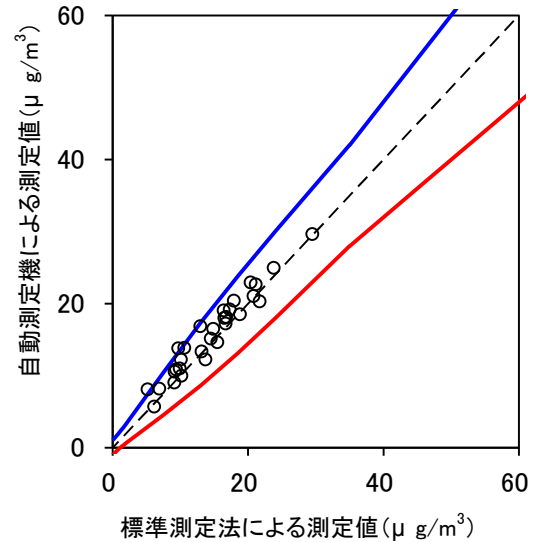
フィールドごとによる評価

機種名	Model MP101M(CPM)・都市部(夏)
有効測定日数	37
自動測定機の有効データ数	33
ハズレ値の個数	3
r	5
K	1.904
傾き	0.92



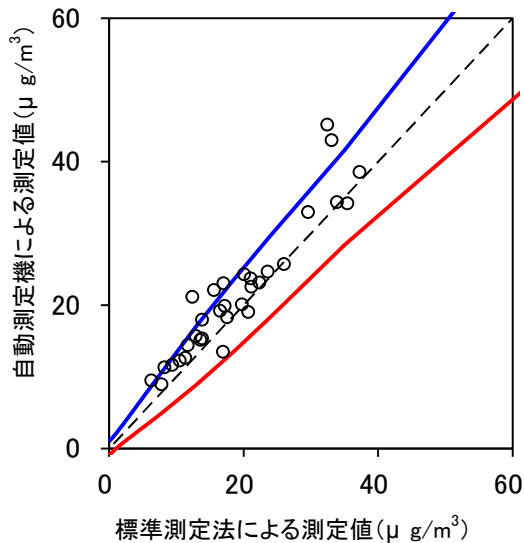
Model MP101M(CPM)の都市部(夏)における管理限界線との関係

機種名	Model MP101M(CPM)・非都市部(夏)
有効測定日数	35
自動測定機の有効データ数	30
ハズレ値の個数	2
r	4
K	2.007
傾き	0.95



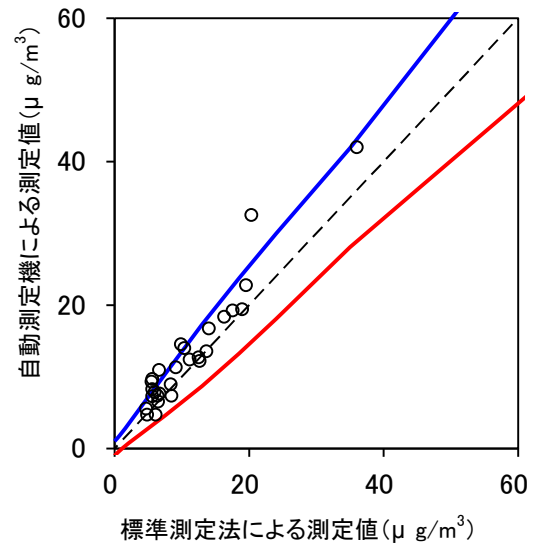
Model MP101M(CPM)の非都市部(夏)における管理限界線との関係

機種名	Model MP101M(CPM)・都市部(冬)
有効測定日数	36
自動測定機の有効データ数	32
ハズレ値の個数	7
r	5
K	1.889
傾き	1.03



Model MP101M(CPM)の都市部(冬)における管理限界線との関係

機種名	Model MP101M(CPM)・非都市部(冬)
有効測定日数	33
自動測定機の有効データ数	28
ハズレ値の個数	6
r	4
K	1.977
傾き	1.16



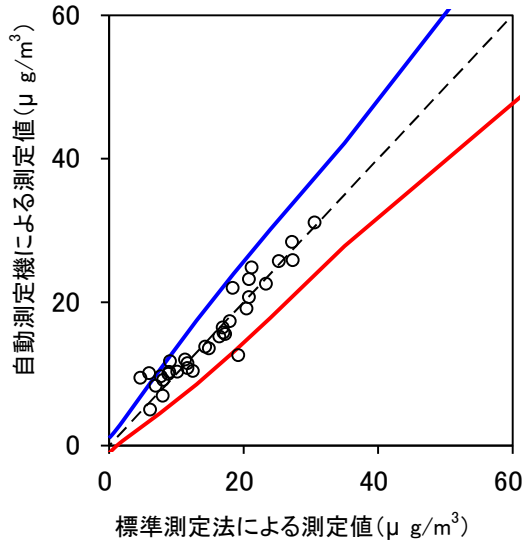
Model MP101M(CPM)の非都市部(冬)における管理限界線との関係

## D: フィールドごとに PR を固定する方法

### (1) $\alpha = \alpha'_1$ の場合

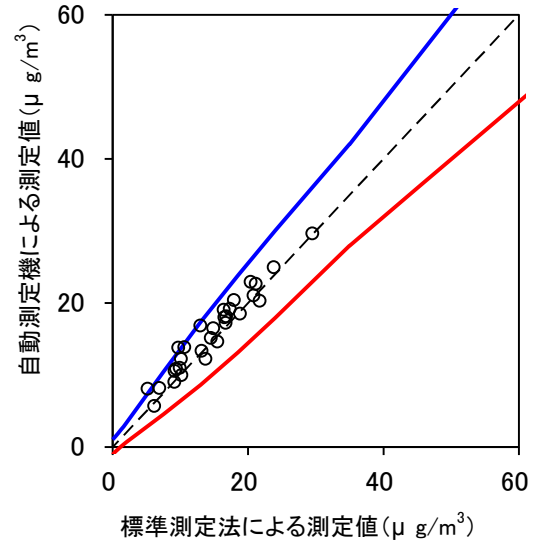
フィールドごとによる評価

機種名	Model MP101M(CPM)-都市部(夏)
有効測定日数	37
自動測定機の有効データ数	33
ハズレ値の個数	3
r	4
K	2.054
傾き	0.92



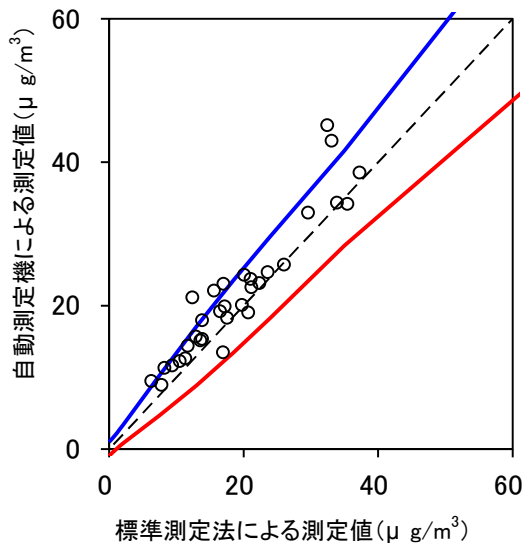
Model MP101M(CPM)の都市部(夏)における管理限界線との関係

機種名	Model MP101M(CPM)-非都市部(夏)
有効測定日数	35
自動測定機の有効データ数	30
ハズレ値の個数	2
r	4
K	2.014
傾き	0.95



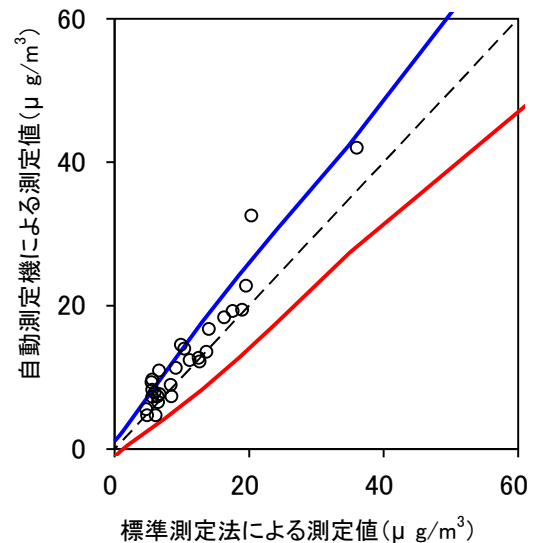
Model MP101M(CPM)の非都市部(夏)における管理限界線との関係

機種名	Model MP101M(CPM)-都市部(冬)
有効測定日数	36
自動測定機の有効データ数	32
ハズレ値の個数	6
r	5
K	1.895
傾き	1.03



Model MP101M(CPM)の都市部(冬)における管理限界線との関係

機種名	Model MP101M(CPM)-非都市部(冬)
有効測定日数	33
自動測定機の有効データ数	28
ハズレ値の個数	6
r	3
K	2.165
傾き	1.16

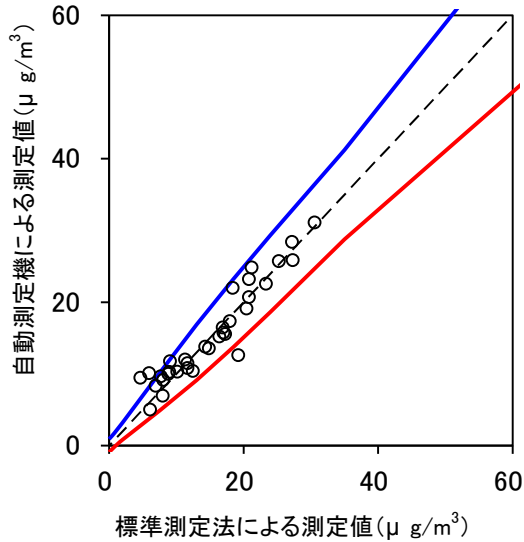


Model MP101M(CPM)の非都市部(冬)における管理限界線との関係

(2)  $\alpha = \alpha'_2$  の場合

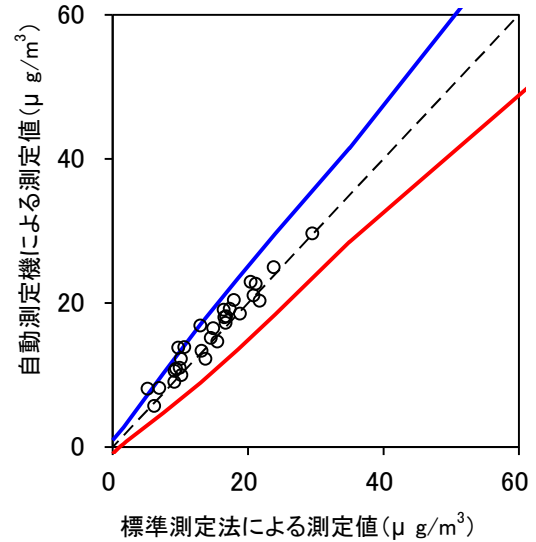
フィールドごとによる評価

機種名	Model MP101M(CPM)-都市部(夏)
有効測定日数	37
自動測定機の有効データ数	33
ハズレ値の個数	3
r	6
K	1.783
傾き	0.92



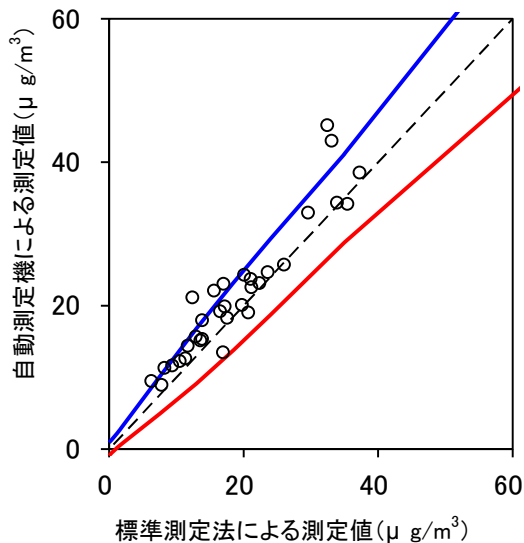
Model MP101M(CPM)の都市部(夏)における管理限界線との関係

機種名	Model MP101M(CPM)-非都市部(夏)
有効測定日数	35
自動測定機の有効データ数	30
ハズレ値の個数	2
r	5
K	1.864
傾き	0.95



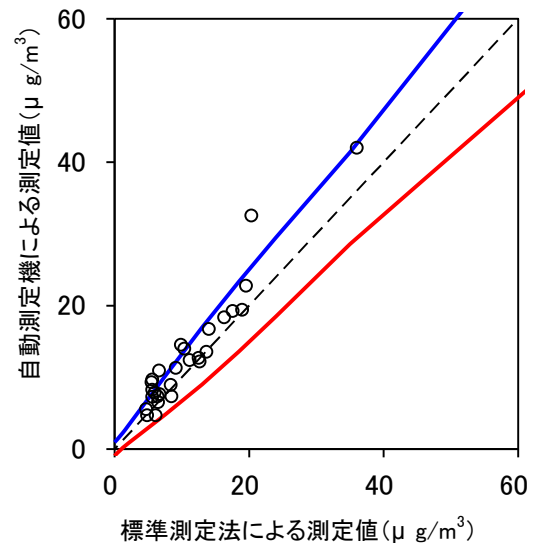
Model MP101M(CPM)の非都市部(夏)における管理限界線との関係

機種名	Model MP101M(CPM)-都市部(冬)
有効測定日数	36
自動測定機の有効データ数	32
ハズレ値の個数	8
r	6
K	1.767
傾き	1.03



Model MP101M(CPM)の都市部(冬)における管理限界線との関係

機種名	Model MP101M(CPM)-非都市部(冬)
有効測定日数	33
自動測定機の有効データ数	28
ハズレ値の個数	7
r	5
K	1.830
傾き	1.16



Model MP101M(CPM)の非都市部(冬)における管理限界線との関係